

## ارزیابی انبارمانی سیب گلاب با دو روش آکوستیکی و نفوذسنجدی

محمد رضا بیاتی<sup>۱</sup> علی رجبی پور<sup>\*</sup> حسین مبلی<sup>۱</sup> افشن ایوانی<sup>۲</sup> فوزان بدیعی<sup>۲</sup>

۱- به ترتیب دانشجوی دکتری و استادی گروه مهندسی ماشین‌های کشاورزی دانشکده‌ی مهندسی و فناوری کشاورزی دانشگاه تهران، کرج، ایران arajabi@ut.ac.ir

۲- به ترتیب استادیار پژوهش بخش مهندسی مکانیک ماشین‌های کشاورزی و مکانیزاسیون و دانشیار پژوهش بخش مهندسی صنایع غذایی و فناوری‌های پس از برداشت، موسسه‌ی تحقیقات فنی و مهندسی کشاورزی، کرج، ایران

### چکیده

اثر انبارداری سیب گلاب در چهار گروه سیب‌های سالم و بدون پوشش، سالم و پوشش‌دار، ضربه خورده و بدون پوشش و ضربه خورده و پوشش‌دار در طی ده هفته در سردخانه‌ای با درجه حرارت ۲ درجه‌ی سانتی‌گراد و ۸۵ درصد رطوبت با دو روش آکوستیکی و نفوذسنجدی بررسی گردید. پارامترهای آکوستیک و نفوذسنجدی شامل فرکانس طبیعی، شاخص سفتی، ضریب الاستیسیته و سفتی نفوذ اندازه‌گیری و ارزیابی شدند. کلیه‌ی نتایج حاصل با استفاده از نرم افزارهای "اکسل ۲۰۰۷" و "اس پی اس اس ۱۶" مورد مطالعه‌ی آماری قرار گرفت. با استفاده از آزمون دانکن در سطح ۵٪ معنی‌دار بودن نتایج بررسی گردید. نتایج نشان داد که پارامترهای آکوستیکی و نفوذ سنجدی در طی دوره‌ی انبارداری کاهش داشته‌اند همچنین پارامترهای آکوستیکی و نفوذسنجدی در سیب‌های سالم و پوشش‌دار در مقایسه با سیب‌های ضربه خورده و بدون پوشش به ترتیب و به طور متوسط ۱۴٪ و ۴۰٪ افزایش نشان دادند.

**واژه‌های کلیدی:** آزمون های غیر مخرب ، بافت سنجدی ، سیب گلاب

### مقدمه

سیب گلاب یکی از ارقام خوش عطر و خوش طعم سیب می‌باشد که در عین حال بسیار حساس است و دوره‌ی ماندگاری آن پس از برداشت بسیار کوتاه است. لذا تحقیق حاضر بر این مبنی استوار بود که ماندگاری این سیب، پس از برداشت در سردخانه مورد بررسی قرار گیرد و تاثیر پوشش مตیل سلولز بر ماندگاری این سیب حساس در دو حالت سیب‌های سالم و ضربه خورده ارزیابی شود. روش بررسی در این تحقیق، ارزیابی سفتی سیب‌ها با دو روش مخرب نفوذ سنجدی و روش غیر مخرب آکوستیکی بود. آزمایش‌ها در موسسه‌ی تحقیقات فنی و مهندسی کشاورزی در کرج انجام گرفتند. داده‌های به دست آمده از آزمایش‌ها توسط نرم افزارهای "اکسل ۲۰۰۷" و "اس پی اس اس ۱۶" مورد تجزیه و تحلیل آماری قرار گرفتند.

سفتی<sup>۱</sup> یکی از خصوصیات داخلی میوه است که در طول انبار داری تغییر می کند(Gómez *et al.*, 2005). در پژوهشی با استفاده از اندازه‌گیری آکوستیکی برای تشخیص واریته‌های مختلف سیب استفاده شد. در این مطالعه طیف سیگنال ثبت شده به وسیله‌ی یک میکروفون ناشی از ضربه‌ی یک چکش سبک به سیب مورد ارزیابی قرار گرفت. و با شناسایی ۱۸ ویژگی از روی طیف‌های مورد نظر، واریته‌های سیب تشخیص داده شدند(Tiplica, *et al.* 2010). در پژوهشی دیگر ارتباط بین سفتی به دست آمده از دو روش آزمون آکوستیکی و آزمون مگنس تیلور<sup>۲</sup> در دو رقم سیب<sup>۳</sup> به دست آمد(Molina-Delgado, *et al.* 2009). در این تحقیق معلوم شد نوع رقم و زمان انبارداری بر روی همبستگی بین این دو اندازه‌گیری تاثیر دارد. در مطالعه‌ای، هم‌زمان با آزمون نفوذ، از انتشار امواج آکوستیک برای مشاهده تغییرات کیفیت بافت سیب استفاده شد. این بررسی در طول زمان ماندگاری سیب‌ها بود که در آن سفتی و تغییرات آن تعیین شد. در این بررسی معلوم گردید پارامترهای آکوستیکی و از جمله انرژی آکوستیکی نسبت به تغییرات سیب‌ها در طول زمان ماندگاری در انبار، نسبت به پارامترهای مکانیکی تعیین کیفیت سیب، حساس ترند(Zdunek and Ranachowski, 2006). در تحقیقی دیگر با عنوان این‌که بافت سیب سرچشمه از صفات آناتومیک دیواره‌ی سلولی آن دارد، در یک روش ترکیبی آکوستیکی – مکانیکی، ضمن اعمال فشار به سیب، تغییرات بافت آن از طریق امواج آکوستیکی بررسی شد(Costa, *et al.* 2011). در پژوهشی دیگر، پژوهشگران دریافتند که با وجود آسیب‌های داخلی در سیب، استفاده از روش آکوستیکی برای تعیین سفتی، غیر قابل اعتماد می شود. اما می‌توان از این روش برای نمایش وجود آسیب‌های داخلی میوه استفاده کرد. وجود آسیب‌های داخلی و اندازه و موقعیت آن‌ها بر روی تعداد نقاط اوج در طیف فرکانس عبوری از سیب‌ها در آزمون آکوستیک تاثیر گذار است(Chen, *et al.* 1995). میزان بلوغ و رسیدگی سیب‌ها<sup>۴</sup> در طول فصل رشد و در طی ۸ ماه انبارداری در سرد خانه با دو روش نفوذسنجدی و آکوستیکی ارزیابی شد. در این مطالعه معلوم شد که برای تعیین سفتی میوه‌های نارس، روش نفوذسنجدی و برای میوه‌های رسیده، روش(اندازه‌گیری پاسخ ضربه‌ی آکوستیک) ایده‌آل است(Duprat, *et al.*, 1997). از فرکانس تشدید در یک آزمون آکوستیک برای پیش‌بینی سفتی، تعیین محتوی جامد محلول<sup>۵</sup> دو رقم سیب<sup>۶</sup> بر روی درخت و در طول عمر مفید سیب‌ها استفاده شد. نتایج آزمایش، پتانسیل حس گرهای آزمون غیر مخرب آکوستیکی را برای پیش‌بینی پارامترهای میوه و تعیین زمان برداشت مطلوب و تعیین کیفیت میوه قابل قبول نشان دادند(Zude, *et al.*, 2006).

<sup>1</sup> Firmness

<sup>2</sup> Magness Taylor

<sup>3</sup> Royal Gala and Golden Smoothee

<sup>4</sup> Golden Delicious

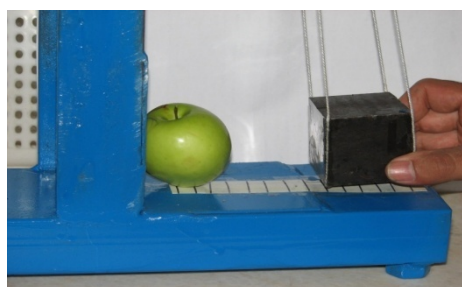
<sup>5</sup> Soluble Solid Content (SSC)

<sup>6</sup> Golden Delicious and Idred

محقق بر روی فرآیند رسیدگی<sup>۱</sup> تعدادی میوه و سبزی و از جمله سبب با روش آکوستیکی مطالعه‌ای صورت دادند و تکرارپذیری این روش را بررسی کردند. این محققین دریافتند این روش امکان بسیارخوب و دقیقی برای اندازه‌گیری سفتی است که تکرارپذیری آن نیز بر روی محصولات کشاورزی، غیر مخرب است. از نتیجه‌ی این آزمون و اندازه‌گیری‌های همزمان شرایط محیطی شامل درجه حرارت و رطوبت نسبی در طول رسیدگی میوه، برای تعیین مدلی برای پیش‌بینی زمان برداشت محصولات مورد آزمون استفاده شد ( Felföldi and Zsom-Muha, 2010).

## مواد و روش‌ها

پس از تهیه‌ی سبب‌های گلاب کهنساز یکی از باغ‌های شهرستان کرج، تعداد ۲۴۰ عدد از آن‌ها عدد انتخاب شدند. نیمی از سبب‌ها توسط دستگاه ضربه‌زن با ضربه‌ی مشخص و کنترل شده چار آسیب شدند. در مرحله‌ی بعد نیمی از سبب‌های هر دو گروه (سبب‌های سالم و سبب‌های ضربه خورده) با متیل سلولز پوشش داده شدند. با این ترتیب چهار گروه سبب، مشخص و شماره گذاری گردیدند: سبب‌های سالم و بدون پوشش (س ب)، سبب‌های سالم و پوشش‌دار (س پ)، سبب‌های ضربه خورده و بدون پوشش (ض ب)، سبب‌های ضربه خورده و پوشش‌دار (ض پ). دستگاه ضربه‌زن متشکل از یک مکعب فولادی به جرم یک کیلوگرم است که به صورت پاندولی عمل می‌کند.



شکل ۱. دستگاه ضربه‌زن پاندولی

. پس از آماده شدن سبب‌ها در چهار گروه مورد اشاره، آن‌ها در سردخانه‌ای با دمای ۲ درجه‌ی سانتی‌گراد و رطوبت نسبی ۸۵ درصد قرارداده شدند. سبب‌های شماره‌گذاری شده در چهار گروه به طور هفت‌های و در طول ۱۰ هفته انبارداری تحت آزمون‌های صوتی و نفوذ سنجی قرار گرفتند.

## آزمون آکوستیک

<sup>۱</sup> Rippening

## تعیین پارامترهای آکوستیکی

برای انجام آزمون صوتی از دستگاه صدا سنج مدل B&K2270 ساخت دانمارک ۲۰۰۹ استفاده شد.



شکل ۲. دستگاه صدادستج

این دستگاه شامل یک میکروفون می باشد و در یک سمت میوه قرار می گیرد. در طرف مقابل توسط دستگاه ضربهزن، ضربات غیر مخرب و برای تحریک میوه و ایجاد امواج عبوری به هر سیب وارد شد. سیگنال خروجی از هر سیب در طرف مقابل توسط میکروفون دریافت و در حافظه دستگاه صدا سنج ثبت می شد. تعداد ضربههای غیر مخرب وارد شده به هر سیب در فاصله‌ی ۱۲۰ درجه از هم در روی قطر استوایی<sup>۱</sup> میوه انجام شد(Tiplica, et al. 2010). در هر نقطه ۳ ضربه و در مجموع ۹ ضربه به هر سیب اعمال گردید. طیفهای ذخیره شده در دستگاه صدا سنج با نرم افزار FFT analyzer تجزیه و تحلیل و در کامپیوتر از حوزه‌ی زمان به حوزه‌ی فرکانس تبدیل شدند. از مشخصه‌های این امواج برای ارزیابی بعضی از خصوصیات فیزیکی سیب‌ها و از جمله تعیین پارامترهای صوتی سیب‌ها استفاده گردید. فرکانس طبیعی هر سیب از روی نمودارهای فرکانس- دامنه تعیین شدند. برای این منظور از اولین فرکانس با بزرگ‌ترین دامنه استفاده گردید و این فرکانس با عنوان "فرکانس طبیعی یا غالب"<sup>۲</sup> سیب مورد آزمون ثبت گردید. برای تعیین سایر پارامترهای صوتی از رابطه‌های زیر استفاده گردید (Cherng and Ouyang, 2003)

$$FI = f^2 \cdot m^{2/3} \quad (1)$$

<sup>1</sup> Equatorial Diameter

<sup>2</sup> Natural or Dominant Frequency

در این رابطه،  $FI$ ، شاخص سفتی<sup>۱</sup> (آکوستیک)؛  $f$ ، فرکانس غالب(هرتز) و  $m$  جرم میوه (کیلو گرم) می باشد. شاخص سفتی یکی از معیارهای تعیین سفتی میوه است.

شاخص بعدی، ضریب الاستیسیته (مدول یانگ) میوه است که وضعیت ارتعاشی میوه‌ی تحت آزمایش را در برابر ضربه‌ی غیرمخرب نشان می دهد:

$$EI = f^2 \cdot m^{2/3} \cdot \rho^{1/3} \quad (2)$$

در این رابطه،  $EI$ ، ضریب الاستیسیته و  $\rho$  جرم حجمی میوه(گرم بر سانتی متر مکعب) است.

برای تعیین جرم میوه‌ها از ترازویی با دقت ۱٪ گرم استفاده شد.

### آزمون نفوذ

برای انجام آزمون نفوذ‌سنجی از دستگاه بافت سنج<sup>۲</sup> مدل Hounsfield-H5KS استفاده شد.



شکل ۳. دستگاه بافت سنج(اینستران)

در این آزمون مخرب تمامی سیب‌ها با یک پروب به قطر ۶/۴ میلی‌متر و با سرعت ۲۰ میلی‌متر بر دقیقه سوراخ شدند. قبل از آزمون، پوست میوه‌ها در محل ایجاد سوراخ، با چاقوی تیز برداشته شد (Gómez *et al.*, 2005). پس از انجام آزمون، نمودارهای نیرو-تغییر شکل مربوط به هر سیب رسم گردید و از آن‌ها نیروی شکست و تنفس مربوط تعیین گردید. میانگین تنفس سیب‌ها در هر

<sup>1</sup> Firmness Index

<sup>2</sup> Texture Analyzer

هفته تعیین و نمودار آن در طول دوره‌ی ۱۰ هفته‌ای انبارداری رسم گردید. برای تحلیل داده‌ها از نرم افزار اس پی اس اس ۱۶ در قالب طرح بلوک کامل تصادفی استفاده گردید.

## نتایج و بحث

جدول ۱ نتایج تجزیه‌ی واریانس اثر متغیرهای مستقل شامل: اثر پوشش، ضربه و زمان و همچنین اثرهای متقابل آن‌ها بر متغیرهای وابسته شامل: فرکانس طبیعی، شاخص سفتی و ضریب الاستیسیته و سفتی نفوذ سنجی را در سیب‌های مورد آزمون نشان می‌دهد. اثرهای پوشش و زمان در سطح ۵٪ بر تمامی متغیرهای وابسته معنی‌دارشد. اما اثر ضربه و اثرهای متقابل بر متغیرهای وابسته معنی‌دار نشد.

**جدول ۱. تجزیه‌ی واریانس**

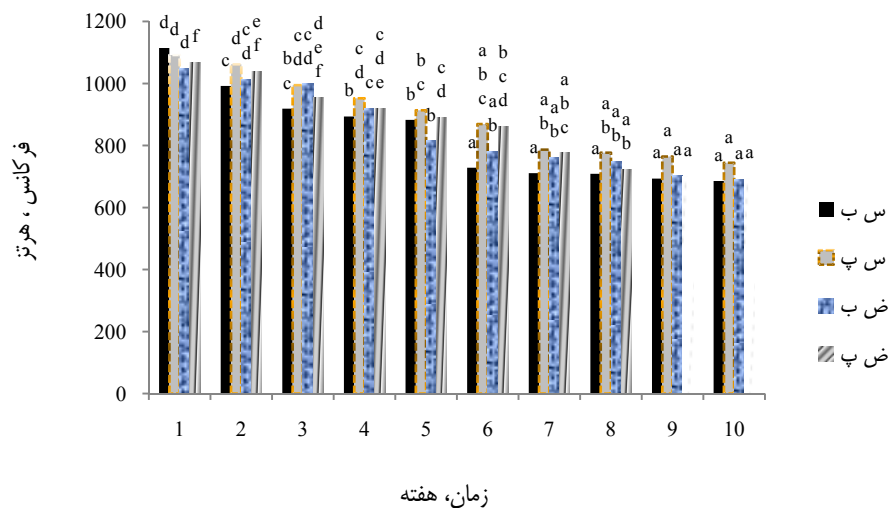
| منابع تعییر    | درجه‌ی آزادی | فرکانس      | شاخص سفتی | ضریب الاستیسیته | سنگی نفوذ | میانگین مربعات |
|----------------|--------------|-------------|-----------|-----------------|-----------|----------------|
| پوشش           | ۱            | ۹۰۳۶۵/۲۰۴*  | ۱/۲۶۳E۱۰* | ۱/۱۹۴E۱۲*       | ۰/۱۹۱*    |                |
| ضربه           | ۱            | ۴۴۴۶/۲۰۴ns  | ۲/۹۷۵E۹ns | ۱/۱۹۴E۱۱ns      | ۰/۰۰۷ns   |                |
| زمان           | ۹            | ۴۳۹۱۰/۸۹۲۶* | ۴/۲۵۹E۱۰* | ۴/۱۷۴E۱۲*       | ۰/۰۳۳*    |                |
| پوشش*ضربه      | ۹            | ۳۴۷۲۸/۲۰۴ns | ۲/۳۷۷E۹ns | ۱/۹۹۲E۱۱ns      | ۰/۰۱۳ns   |                |
| پوشش*زمان      | ۹            | ۵۴۰۸/۲۶۰ns  | ۲/۸۶۹E۸ns | ۳/۲۴۹E۱۰ns      | ۰/۰۰۲ns   |                |
| ضربه*زمان      | ۹            | ۳۹۲۹/۶۲۰ns  | ۴/۱۹۰E۸ns | ۴/۳۳۷E۱۰ns      | ۰/۰۰۱ns   |                |
| پوشش*ضربه*زمان | ۹            | ۴۰۸۱/۴۶۳ns  | ۵/۵۱۶E۸ns | ۴/۷۳۲E۱۰ns      | ۰/۰۰۲ns   |                |

**جدول ۲. مقایسه‌ی میانگین اثر زمان بر پارامترهای اندازه‌گیری شده**

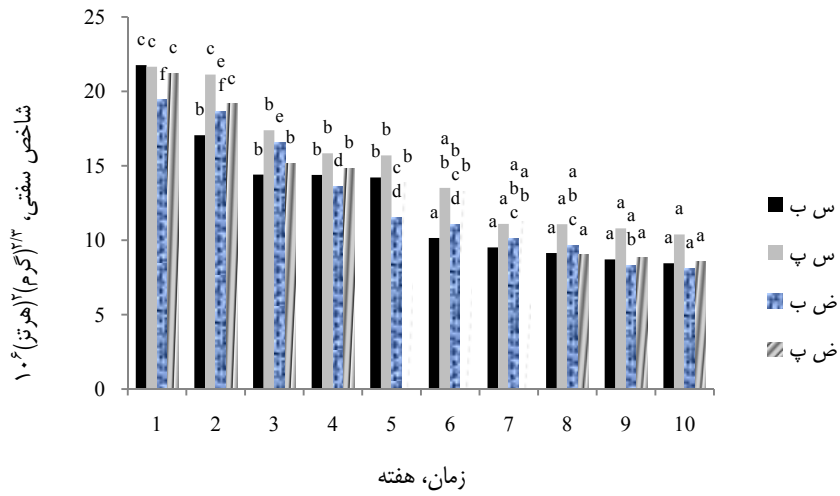
| زمان، هفته | فرکانس، هرتز | شاخص سفتی، $\frac{(\text{گرم})^{\frac{1}{2}}}{(\text{سانتیمترمکعب/گرم})^{\frac{1}{2}}}$ | ضریب الاستیسیته، $\frac{(\text{سانتیمترمکعب/گرم})^{\frac{1}{2}}}{(\text{هرتز})^{\frac{1}{2}}}$ | بافت سنجی، نیوتن بر میلی‌متر مربع |
|------------|--------------|---|--|-----------------------------------|
| ۱          | ۱/۰۸۱۰E۲c    | ۲/۱۰۱۸E۵f   | ۱/۰۴۲۹E۶f  | ۰/۲۷۲۴f                           |
| ۲          | ۱/۰۲۶۶E۲c    | ۱/۹۰۰۱E۵c   | ۱/۸۶۲۴E۶c  | ۰/۲۱۳۵c                           |
| ۳          | ۹/۶۶۹۲E۲d    | ۱/۵۸۸۷E۵d   | ۱/۵۳۶۹E۶d  | ۰/۲۰۸۵de                          |
| ۴          | ۹/۲۱۳۳E۲cd   | ۱/۴۶۷۳E۵cd  | ۱/۴۳۶۲E۶cd   | ۰/۲۰۲۲cde                         |
| ۵          | ۸/۷۵۳۳E۲c    | ۱/۳۸۳۵E۵c   | ۱/۳۵۳۸E۶c  | ۰/۱۸۸۳cde                         |
| ۶          | ۸/۱۰۰۴E۱b    | ۱/۲۰۰۰E۵b   | ۱/۱۶۴۹E۶b  | ۰/۱۷۸۹bcd                         |
| ۷          | ۷/۵۹۰۴E۲ab   | ۱/۰۵۰۶E۵ab  | ۱/۰۰۹۶E۶a  | ۰/۱۴۹۹abcd                        |

|                       |                      |                      |                      |    |
|-----------------------|----------------------|----------------------|----------------------|----|
| ۰/۱۴۲۵ <sup>abc</sup> | ۹/۲۷۹۶E <sup>a</sup> | ۹/۷۱۶۲E <sup>a</sup> | ۷/۳۹۲۱E <sup>a</sup> | ۸  |
| ۰/۱۲۰۴ <sup>ab</sup>  | ۹/۷۶۶۷E <sup>a</sup> | ۹/۱۵۶۸E <sup>a</sup> | ۷/۱۵۵۰E <sup>a</sup> | ۹  |
| ۰/۰۹۵۶ <sup>a</sup>   | ۸/۵۳۴۶E <sup>a</sup> | ۸/۸۷۶۰E <sup>a</sup> | ۷/۰۳۵۰E <sup>a</sup> | ۱۰ |

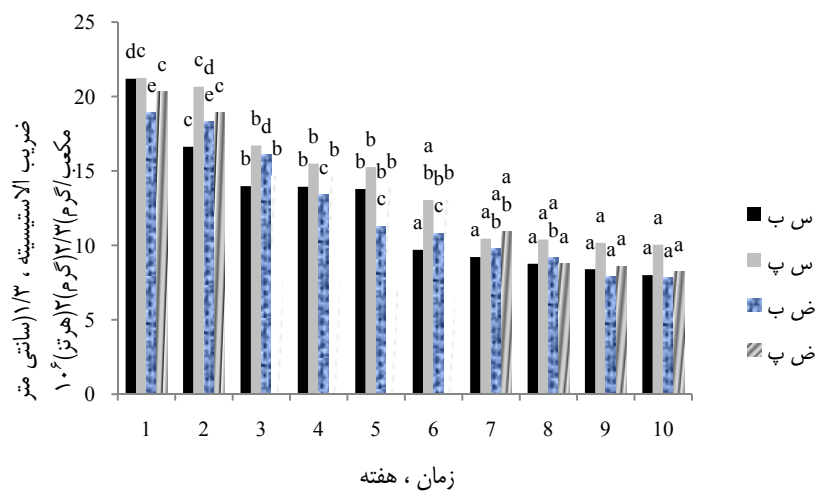
در جدول ۲ که مقایسه‌ی میانگین‌های متغیرهای وابسته (فرکانس طبیعی، شاخص سفتی، ضریب الاستیسیته و سفتی نفوذستجی) نسبت به زمان‌های مختلف است و توسط آزمون دانکن در سطح ۵٪ انجام گرفته است، نشان دهنده‌ی اختلاف معنی‌دار متغیرهای وابسته در سطوح مختلف زمان انبارداری است. با ادامه‌ی زمان انبارداری تمام پارامترهای اندازه‌گیری شده تغییر کرده و کاهش یافته‌اند. در این میان اگرچه شاخص‌های آکوستیکی در سه هفته‌ی آخر زمان انبارداری تغییر معنی‌داری نداشته‌اند اما روند کاهش این شاخص‌ها ادامه یافته است. همچنین در این مدت سفتی حاصل از آزمون نفوذ سنجی کاهش معنی‌دار خود را تا آخرین هفته نگهداری ادامه داده است.



شکل ۴. تغییرات فرکانس در طول زمان انبارداری



شکل ۵. تغییرات شاخص سفتی در طول زمان انبارداری



شکل ۶. تغییرات ضریب الاستیسیتیه در طول زمان انبارداری

همان‌گونه که از شکل های ۴ ، ۵ و ۶ بر اساس آزمون دانکن مشاهده می شود، شاخص‌های آکوستیکی در گروه‌های چهار گانه‌ی سبی‌ها در طول زمان انبارداری و در هشت هفته‌ی اول تفاوت معنی‌داری وجود دارد. اما در دو هفته‌ی پایانی زمان انبارداری تفاوت معنی‌داری بین این شاخص‌ها در گروه‌های مختلف مشاهده نمی شود. روند تغییرات در تمامی شاخص‌ها کاهشی است. این کاهش در دوهفته‌ی آخر علی‌رغم معنی دار نشدن همچنان ادامه داشته است. بیشترین مقادیر این شاخص‌ها در تمامی گروه‌ها و در تمام طول مدت زمان انبارداری مربوط به گروه سبی‌های سالم و پوشش‌دار است. به‌طور کلی متغیرهای ضربه‌خوردگی و عدم

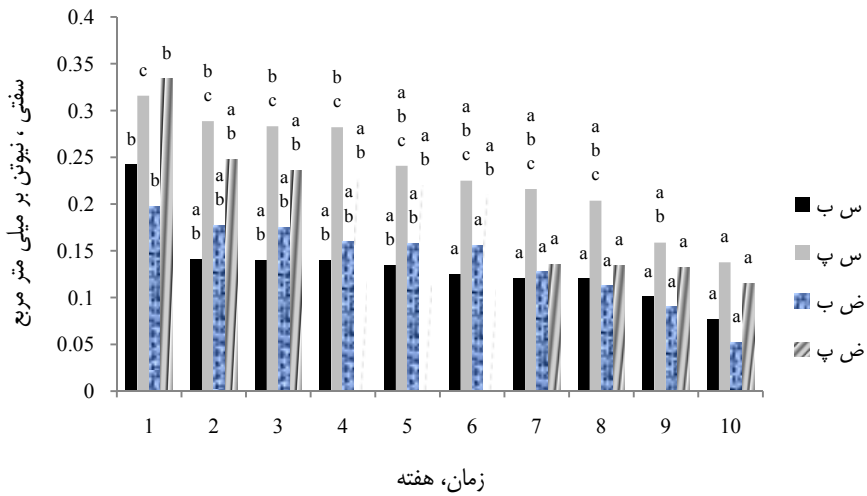
پوشش سیب‌ها در طول ۱۰ هفته انبارداری از عامل‌های کمتر شدن پارامترهای آکوستیکی نسبت به افزایش این شاخص‌ها با وجود متغیرهای سالم بودن و پوشش‌دار بودن سیب‌ها شده است. پارامترهای آکوستیکی سیب‌های سالم و پوشش‌دار شامل: شاخص سفتی، فرکانس طبیعی و ضربی الاستیسیته به ترتیب به اندازه‌ی ۱۴/۱۱، ۱۴/۲۶ و ۱۴ درصد در مدت انبارداری افزایش داشته‌اند.

در تحقیقی از روش ضربیه‌ی آکوستیکی برای تعیین رسیدگی سیب‌های گلدن دلیشنس در طی فصل رشد و در طی ۸ ماه انبارداری در سردخانه استفاده شد. نتایج این تحقیق، کاهش ضربیه‌ی استیسیته و سفتی را در طول مدت انبارداری نشان داد (De Belie *et al.*, 2000). از نتایج پژوهشی دیگر، کاهش سفتی و فرکانس سیب‌های<sup>۱</sup> انبار شده در سردخانه‌ای با دمای یک درجه‌ی سانتی‌گراد و رطوبت نسبی ۹۵ درصد به‌دست آمد. نتایج تحقیق همچنین نشان داد که همبستگی بین پارامترهای آکوستیکی و نفوذ سنجی بر حسب نوع واریته و تازگی سیب‌ها فرق می‌کند (Duprat *et al.*, 1997). در تحقیقی دیگر دو حسگر غیر مخرب، یکی بر اساس اصل "پاسخ ضربیه‌ی آکوستیک"<sup>۲</sup> و دیگری بر اساس "ضربیه‌ی یک جسم سبک"<sup>۳</sup> را برای ارزیابی کیفی تعدادی سیب و گوجه فرنگی و نیز تعیین سفتی و همبستگی بین آن‌ها در طی فرایند انبارداری مقایسه نمودند. نتایج این محققین نیز کاهش سفتی را در هر دو محصول و با هر دو روش تایید کرد (De Ketelaere, *et al.*, 2006). کاهش سفتی سیب‌ها در یک تحقیق دیگر نیز تایید شد. در این تحقیق سه واریته‌ی سیب در سه مرحله از رسیدگی و در سه زمان مختلف از دوره‌ی انبارداری و با سه روش: حسی، نفوذ‌سنجی و آکوستیکی مورد ارزیابی قرار گرفتند. یافته‌های این تحقیق همچنین معلوم کرد که شاخص آکوستیک به‌طور معنی‌داری با سفتی بافت سیب مرتبط است (Mehinagic *et al.*, 2006).

<sup>1</sup> Jonalgold apples

<sup>2</sup> Acoustic Impulse Response

<sup>3</sup> Low Mass Impact



شکل ۷. تغییرات سفتی در طول زمان انبارداری

در آزمون مخرب نفوذسنجدی نیز روند تغییرات رفتاری مشابه با آزمون غیر مخرب آکوستیکی داشتند (شکل ۷). در این آزمون تمام منحنی هاروند کاهشی دارند و ترکیب متغیرهای مستقل پوشش‌داربودن سبیها و سالم بودن آن‌ها عامل بیشتر بودن مقاومت به نفوذ در تمامی گروه‌های سبیها است. این حالت در تمام هفته‌های نگهداری سبیها در سردخانه علی‌رغم کاهشی بودن آن در تمامی گروه‌ها ادامه داشته است. در این آزمایش هم، پوشش باعث حفظ سفتی بیشتر سبیها نسبت به بقیه‌ی گروه‌ها و در نتیجه حفظ بهتر خصوصیات کیفی سبیها شده است. پوشش در سبی‌های سالم به طور متوسط باعث بهبود  $40/2$  درصدی سفتی نسبت به سبی‌های ضربه خورده‌ی بدون پوشش شده است. در یک پژوهش نیز ضمن بررسی بر روی بافت هفت واریته‌ی سبی از طریق یک روش آکوستیکی معلوم شد که همبستگی بالایی بین بافت سبیها و پارامترهای آکوستیکی وجود دارد و این روش پیش‌بینی بهتری از وضعیت بافت سبی به دست می‌دهد. یافته‌های این پژوهش همچنین کاهش پارامترهای کیفی سبیها و از جمله نیروی نفوذ را در طول زمان انبارداری نشان داد (Zdunek *et al.*, 2010).

این آزمون‌ها و نتایج آن‌ها در این شکل‌ها (۴، ۵، ۶ و ۷)، نشان می‌دهد شیب منحنی‌های مربوط به پارامترهای آکوستیکی در آزمون غیر مخرب آکوستیکی و بهخصوص شاخص سفتی و ضریب الاستیسیته از شیب این منحنی‌ها در آزمون نفوذ سنجدی بیشتر است که می‌تواند عاملی برای تشخیص بهتر تغییرات پارامترهای رسیدگی و از جمله سفتی در طول دوره‌ی پس از برداشت میوه باشد.

جدول ۳. ضرایب همبستگی بین پارامترهای اندازه گیری شده در دو گروه سبی‌های ضربه خورده‌ی بدون پوشش و سبی‌های

سالم پوشش‌دار

| ض ب        |        |      |            |      |       |  | ض ب        |      |            |      |       |  |  |
|------------|--------|------|------------|------|-------|--|------------|------|------------|------|-------|--|--|
|            | فرکانس | شاخص | ضریب       | بافت | سنجدی |  | فرکانس     | شاخص | ضریب       | بافت | سنجدی |  |  |
|            | طبیعی  | سفتی | الاستیسیته | بافت | سنجدی |  | طبیعی      | سفتی | الاستیسیته | بافت | سنجدی |  |  |
| فرکانس     | ۱      |      |            |      |       |  | فرکانس     | ۱    |            |      |       |  |  |
| طبیعی      |        |      |            |      |       |  | طبیعی      |      |            |      |       |  |  |
| شاخص       | ۰/۹۹   | ۱    |            |      |       |  | شاخص       | ۰/۹۹ | ۱          |      |       |  |  |
| سفتی       |        |      |            |      |       |  | سفتی       |      |            |      |       |  |  |
| ضریب       | ۰/۹۹   | ۰/۹۹ | ۱          |      |       |  | ضریب       | ۰/۹۹ | ۰/۹۹       | ۱    |       |  |  |
| الاستیسیته |        |      |            |      |       |  | الاستیسیته |      |            |      |       |  |  |
| بافت سنجدی | ۰/۹۴   | ۰/۹۰ | ۰/۹۰       | ۱    |       |  | بافت سنجدی | ۰/۸۸ | ۰/۸۷       | ۰/۸۷ | ۱     |  |  |

جدول(۳) ضریب‌های همبستگی بین پارامترهای آکوستیکی با هم در آزمون غیر مخرب آکوستیکی و همچنین همبستگی بین این پارامترها با پارامتر نفوذسنجدی در آزمون مخرب نفوذسنجدی در دو گروه سیب‌های سالم و پوشش‌دار و سیب‌های ضربه خورده‌ی بدون پوشش آورده شده است. به طور کلی همبستگی بین پارامترهای آکوستیکی با هم، بیش از همبستگی این پارامترها با پارامتر نفوذسنجدی در هر دو گروه سیب‌ها می‌باشد. نتایج این جدول‌ها همچنین نشان می‌دهند که بزرگ‌ترین همبستگی‌ها بین شاخص سفتی و ضریب الاستیسیته با مقدار ۰/۹۹ و کمترین همبستگی بین شاخص سفتی و شاخص نفوذ سنجدی به میزان ۰/۸۷ می‌باشد.

### نتیجه‌گیری

به طور کلی نتایج زیر را می‌توان از این تحقیق به دست آورد:

۱- در مدت ده هفته زمان نگهداری سیب‌های گلاب در چهار گروه سالم و بدون پوشش متیل سلولز، سالم پوشش‌دار، ضربه خورده‌ی بدون پوشش و ضربه خورده‌ی پوشش‌دار در سردخانه، تمام پارامترهای اندازه گیری شده شامل: فرکانس طبیعی، شاخص آکوستیک، ضریب الاستیسیته و سفتی نفوذ سنجدی از خود کاهش نشان دادند معنی‌دار شدن این کاهش‌ها تا هفته‌ی هشتم بود و بعد از آن علی‌رغم معنی‌دار نبودن، کاهش همچنان ادامه داشت.

۲- در میان چهار گروه سیب‌ها، سیب‌های سالم و پوشش‌دار به طور متوسط در آزمون‌های آکوستیکی نسبت به سیب‌های ضربه خورده‌ی بدون پوشش ۱۴٪ افزایش نشان دادند.

۳- همچنین این سیب‌ها در آزمون نفوذ سنجدی نسبت به سیب‌های مورد اشاره از سفتی بیش از ۴۰٪ برخوردار بودند.

۴- با توجه به محسوس‌تر بودن تغییرات پارامترهای آکوستیکی بهخصوص پارامترهای شاخص آکوستیک و ضریب الاستیسیته به علت شبیه‌تر منحنی‌های آن‌ها نسبت به سفتی نفوذ سنجی، می‌توان از این آزمون‌ها برای بررسی دقیق تر تغییرات سفتی در سیب‌های مورد آزمون در مدت زمان انبارداری استفاده کرد..

۵- همبستگی بین پارامترهای آکوستیکی بیش‌تر از همبستگی بین این پارامترها با پارامتر نفوذ سنجی بود.

## سپاس‌گزاری

از همکاری صمیمانه‌ی موسسه‌ی تحقیقات فنی و مهندسی کشاورزی کرج، در فراهم آوردن امکانات اجرایی و آزمایشگاهی این تحقیق سپاس‌گزاریم.

## منابع

- Chen, H., F. Duprat, M. Grotte, D. Loonis, and E. Pietri. 1995. Influence of the apple Defect on the Frequency Response Spectra During Nondestructive Acoustic Sensing of Fruit Firmness. International Agrophysics. 9: 143-151.
- Cherng, A P., and F. Ouyang. 2003. A Firmness Index for Fruits of Ellipsoidal Shape. Biosystems Engineering. 86(1): 35-44.
- Costa, F., L. Cappellin, S. Longhi, W. Guerra, P. Magnago, D. Porro, C. Soukoulis, S. Salvi, R. Velasco, F. Biasioli, and F. Gasperi. 2011. Assessment of apple (*Malus*•*domestica* Borkh.) fruit texture by a combined acoustic-mechanical profiling strategy. Postharvest Biology and Technology. 61(91): 21-28.
- De Belie, N., S. Schotte, P. Coucke, and J. De Baerdemaeker. 2000. Development of an automated monitoring device to quantify changes in firmness of apples during storage. Postharvest Biology and Technology. 18:1-8.
- De Ketelaere, B., M. S. Howarth, L. Crezee, J. Lammertyn, K. Viaene, I. Bulens, and J. D. Baerdemaeker. 2006. Postharvest firmness changes as measured by acoustic and low-mass impact devices: a comparison of techniques. Postharvest Biology and Technology. 41: 275-284.
- Duprat, F., M. Grotte, E. Pietri, and D. Loonis. 1997. The acoustic impulse response method for measuring the overall firmness of fruit. Journal of Agricultural Engineering Research. 66: 251 - 259.
- Felföldi, J., and V. Zsom-Muha. 2010. Investigation of ripening process of fruit and vegetable samples by acoustic method. ISHS Acta Horticulturae. 858: 393-398.
- Gómez, A. H., A. G. Pereira, W. Jun, and H. Yong. 2005. Acoustic testing for peach fruit ripeness evaluation during peach storage stage. Revista Ciencias Técnicas Agropecuarias. 14(2): 28-34.
- Gómez, A. H., J. Wang, and A. G. Pereira. 2005. Impulse response of pear fruit and its relation to Magness-Taylor firmness during storage. Postharvest Biology and Technology. 35(2): 209-215.
- Mehinagic, E., G. Royer, R. Symoneaux, and F. Jourjon. 2006. Relationship between apple sensory attribute and instrumental parameters of texture. Journal of Fruit and Ornamental Plant Research. 14(2):25-37.
- Molina-Delgado, D., S. Alegre, P. Barreiro, C. Valero, M. Ruiz-Altisent, and I. Recasens,. 2009. Addressing potential sources of variation in several non-destructive techniques for measuring firmness in apples. Biosystem Engineering. 104:33-46.
- Tiplica, T., P. Vandewalle, S. Verron, C. Grémy-Gros, and E. Mehinagic. 2010. Identification of apple varieties using acoustic measurements. International Metrology Conference CAFMET. Cairo, Egypt.
- Zdunek, A., J. Cybulska, D. Konopacka, and K. Rutkowski. 2010. New contact acoustic emission detector for texture evaluation of apples. Journal of Food Engineering. 99: 83-91.

14. Zdunek, A., and R. Ranachowski. 2006. Acoustiv emission in puncture test of apples during shelf-life. Electronic Journal of polish Agricultural Universities(EJPAU).
15. Zude, M., B. Herold, J. M. Roger, V. Bellon-Maurel, and S. Landahl. 2006. Non-destructive tests on the prediction of apple fruit flesh firmness and soluble solids content on tree and in shelf life. Journal of Food Engineering. 77(2): 254-260.

# Storability evaluation of “GOLAB” apple with two acoustic and penetration methods

Mohammad Reza Bayati<sup>1</sup> Ali Rajabipour<sup>1\*</sup> Hossein Mobli<sup>1</sup> Afshin Eyvani<sup>2</sup> Fojan Badii<sup>2</sup>

1- Phd Student and Professors of Department of Agricultural Machinery Engineering respectively,  
Tehran University, Karaj , Iran.  
[arajabi@ut.ac.ir](mailto:arajabi@ut.ac.ir)

2- Research Assistant Professor and Research Associate Professor of Agricultural Engineering Research  
Institute respectively , Karaj , Iran.

## Abstract

Effect storage of “GOLAB”apple in four groups: Intact and uncoated apples , intact and coated apples, bruised and uncoated apples and bruised and coated apples at 10 weeks of cold storage at 2°C and 85%RH was studied by acoustic nondestructive and penetration destructive tests. Acoustic and penetration parameters including: Natural frequency, firmness index, elasticity coefficient and also penetration firmness were measured and evaluated each week. Statistical analysis of the results was carried out using Excel 2007 and SPSS 16 softwares and using Duncan test at 5% level , significant results were studied. The results showed that the acoustic and penetration parameters were decreased during storage and acoustic parameters and firmness in intact and coated apples were 14% and 40% higher compared to other apples.

**Keywords:** Golab apple, non destructive tests , texture analyzer